

УДК 539.2 : 530.145 : 518.12

© 1990

ЧИСЛЕННОЕ МОДЕЛИРОВАНИЕ ВАКАНСИИ КРЕМНИЯ В КВАРЦЕВОМ СТЕКЛЕ

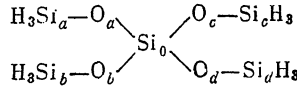
Е. М. Дианов, В. О. Соколов, В. Б. Сулимов

В кластерной модели с помощью квантовохимического метода МЧПДП/3 рассчитаны свойства вакансии кремния в кварцевом стекле в зарядовых состояниях V_{Si}^2 , V_{Si}^0 , V_{Si}^+ , V_{Si}^{2+} с учетом релаксации атомов кислорода первой координационной сферы дефекта.

В последние годы активно исследуются собственные и примесные дефекты, обусловливающие оптическое поглощение в кварцевом стекле, являющимся основным материалом для изготовления волоконных световодов с малыми потерями. Основное внимание уделяется дефектам, возникающим вблизи кислородных узлов атомной сетки $v\text{-SiO}_2$. Такие дефекты подробно изучались и в наших работах [1-8] методом численного моделирования. Однако не меньший интерес представляют дефекты, образующиеся в кремниевых узлах атомной сетки $v\text{-SiO}_2$, например в связи с проблемами волоконной оптики интересны свойства примесей замещения — атомов углерода и германия. Поэтому возникает задача изучения свойств подобных дефектов методом численного моделирования в рамках единой модели и с помощью единого расчетного метода. Настоящая работа посвящена простейшему дефекту — вакансии кремния V_{Si} .

Вакансия кремния изучалась ранее в теоретических работах [9, 10] с помощью различных вариантов метода сильной связи без учета как пространственной зависимости матричных элементов, так и релаксации атомного окружения дефекта. По-видимому, именно столь упрощенный подход стал причиной явной противоречивости результатов работ [9, 10]. Так, в [9] не найдено каких-либо состояний дефекта в запрещенной зоне диоксида кремния, соответственно отсутствует и оптическое поглощение. В [10] обнаружено локализованное состояние вакансии, лежащее в запрещенной зоне, причем переход электрона с этого уровня в зону проводимости сопровождается оптическим поглощением вблизи 7.6 эВ. Поэтому изучение вакансии кремния представляет заметный интерес.

Расчеты свойств V_{Si} выполнены с помощью полуэмпирического квантовохимического метода МЧПДП/3 [11] в рамках кластерной модели $v\text{-SiO}_2$. Детали использованного подхода и, в частности, критерий выбора кластера излагались достаточно подробно в [1]. Для моделирования дефектов, образующихся вблизи кремниевого узла, необходимо использовать кластер, в центре которого находится именно этот узел. Минимальный кластер, удовлетворяющий условиям орбитальной стехиометрии [12] с учетом использования водородоподобных атомов H для насыщения обрванных связей поверхностных атомов кластера, имеет вид



Условие [орбитальной стехиометрии [12] заключается в требовании включения в число рассматриваемых атомных орбиталей лишь тех, которые

участвуют в образовании связей между атомами кластера, причем состав орбиталей должен отвечать стехиометрии вещества. В случае SiO_2 следовало бы учесть по одной sp^3 -гибридной орбитали каждого из периферийных атомов Si, образующих связи с атомами O. Однако вместо этого мы использовали атомы H для насыщения остальных sp^3 -гибридных орбиталей каждого из атомов Si; как показывают расчеты, это дает удовлетворительные результаты при выполнении требования фиксированной геометрии SiH_3 -групп (длина связи Si—H 1.5 Å, угол H—Si—H 109°27'). С учетом только орбиталей, участвующих в связях между реальными атомами, состав кластера выражается формулой $\text{Si}_{(1+1\cdot(1/4))}\text{O}_4 = \text{Si}_2\text{O}_4$, т. е. стехиометричен.

Контрольные расчеты свойств такого кластера показали, что он вполне удовлетворительно описывает как геометрическую, так и электронную структуру диоксида кремния. Путем минимизации полной энергии кластера были определены длины связей Si—O и углы Эйлера, определяющие ориентацию центрального SiO_4 -тетраэдра, который мог вращаться как целое.

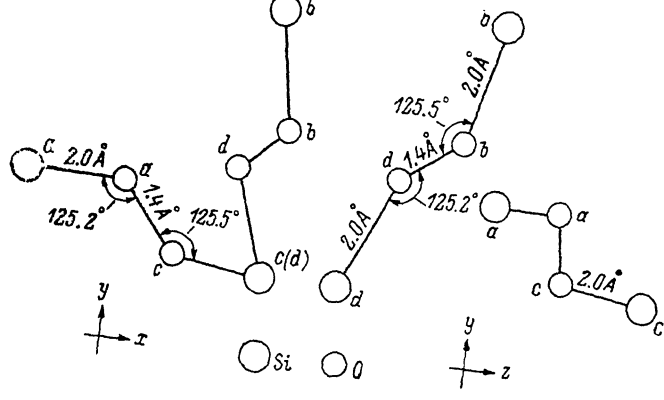


Рис. 1. Расположение атомов дефекта V_{Si}^0 (a, b, c, d — индексы атомов).

вокруг фиксированного атома Si_0 . Атомы $\text{Si}_{a, b, c, d}$ были также фиксированы в положениях, отвечающих идеальной сетке диоксида кремния. Углы O—Si—O не изменялись и были равны 109°27', а углы Si—O—Si определялись ориентацией SiO_4 -тетраэдра и положением атомов кислорода $\text{O}_{a, b, c, d}$ на соответствующих тетраэдрических осях (эти положения, т. е. расстояния $\text{Si}_0—\text{O}_{a, b, c, d}$, также оптимизировались). Группы SiH_3 могли поворачиваться как целое вокруг атомов кремния в соответствии с перемещениями атомов кислорода, так что углы O—Si—H всегда составляли 109°27'.

Полученные в результате длины связей Si—O составляют 1.63 Å, углы Si—O—Si равны приблизительно 138°, а SiO_4 -тетраэдры развернуты на 25°. Эти параметры близки как к вычисленным ранее для кластера с центральным атомом кислорода, так и к средним экспериментальным значениям [1]. Полученные в расчете ширина запрещенной зоны (10.5 эВ), заряды атомов Si и O (+1.33 | e | и -0.66 | e | соответственно), плотность состояний для разрешенных зон близки как к результатам наших предшествующих расчетов на основе кластера с центральным атомом кислорода, так и к экспериментальным характеристикам [1].

Вакансия V_{Si} моделировалась путем удаления центрального атома Si_0 . Релаксация атомов кислорода первой координационной сферы V_{Si} ($\text{O}_a, \text{O}_b, \text{O}_c, \text{O}_d$) изучалась с помощью минимизации полной энергии кластера по отношению к трем координатам каждого из этих атомов. Атомы кремния второй координационной сферы дефекта ($\text{Si}_a, \text{Si}_b, \text{Si}_c, \text{Si}_d$) были фиксированы в положениях, отвечающих узлам идеальной сетки $v\text{-SiO}_2$, группы SiH_3 могли поворачиваться как целое вокруг этих фиксированных атомов кремния в соответствии с перемещениями атомов кислорода, так что углы O—Si—H и H—Si—H оставались тетраэдрическими (109°28'). Были изу-

чины зарядовые состояния вакансии V_{Si}^2 , V_{Si}^- , V_{Si}^0 , V_{Si}^+ и V_{Si}^+ (зарядовые состояния моделировались за счет изменения полного заряда кластера). Расчеты показали, что строение и свойства V_{Si} существенно зависят от зарядового состояния дефекта.

На рис. 1 изображено расположение атомов первой и второй координационных сфер дефекта V_{Si}^0 . Видно, что в процессе релаксации атомы кислорода O_a и O_c , O_b и O_d попарно сближаются, так что соответствующие связи $Si-O$ отклоняются в среднем на 9.5° от своих первоначальных направлений, отвечающих идеальной сетке $v-SiO_2$. В результате образуются атомные цепочки $\equiv Si_a-O_a-O_c-Si_c \equiv$ и $\equiv Si_b-O_b-O_d-Si_d \equiv$, каждая из которых по существу представляет собой пероксидный мостик с расстоянием $Si-Si$, равным 5.03 \AA . Свойства пероксидного мостика и их зависимость от расстояния $Si-Si$ изучались в наших работах [6-8], где было получено, в частности, значение равновесного расстояния $Si-Si$ в пероксидном мостике 4.30 \AA . Таким образом, пероксидные мостики в V_{Si}^0 несколько «растянуты» по сравнению с изолированным дефектом. В [6-8] изучались также свойства пероксидного мостика для расстояния $Si-Si$, равного 5.0 \AA . Поэтому остановимся на основных отличиях свойств атомных цепочек $\equiv Si-O-O-Si \equiv$ в V_{Si}^0 от свойств такого растянутого мостика. Эти отличия обусловлены близким расположением двух цепочек в V_{Si}^0 (расстояния O_a-O_b , O_a-O_d , O_c-O_b , O_c-O_d в среднем составляют 3.3 \AA) и заметным взаимодействием между ними, приводящим к смещению электронной плотности с атомов кислорода на атомы кремния, вследствие чего их полные заряды уменьшаются по абсолютной величине на $0.15 |e|$ и $0.37 |e|$ соответственно по сравнению с пероксидным мостиком (табл. 1 и [6-8]), связи $Si-O$ ослабляются на 12% , а связи $O-O$ усиливаются на 6% по сравнению с тем же дефектом [6-8]. Кроме того, взаимодействие между атомами кремния и кислорода, принадлежащими одной цепочке, но непосредственно не связанными между собой (например, Si_a-O_c и т. п.), энергия которого в пероксидном мостике составляет -1.8 эВ [6-8], ослабляется в среднем в пять раз. Для двух цепочек $\equiv Si-O-O-Si \equiv$ такие изменения приводят к повышению суммарной энергии образования приблизительно на 13.5 эВ по сравнению с двумя изолированными пероксидными мостиками (энергия образования пероксидного мостика, т. е. разность энергии образования бездефектного и дефектного кластеров, для расстояния $Si-Si$, равного 5 \AA , составляет 1.8 эВ [6-8]). С учетом энергии образования бездефектного кластера, равной -10.2 эВ , и энергии образования дефекта V_{Si}^0 ($+5.4 \text{ эВ}$) находим, что для образования дефекта V_{Si}^0 требуется энергия 15.6 эВ . Таким образом, взаимодействие между цепочками $\equiv Si-O-O-Si \equiv$ в V_{Si}^0 снижает энергию образования этого дефекта всего на 1.5 эВ или на 10% , в то время как остальная часть (около 90%) энергии образования V_{Si}^0 обусловлена взаимодействием атомов в пределах каждой цепочки. Описанные выше изменения этого взаимодействия обусловлены лишь ко-

Таблица 1
Заряды атомов дефекта, $|e|$

Si_a	Si_b	Si_c	Si_d	O_a	O_b	O_c	O_d
+1.17	+0.93	+1.17	+0.94	-0.69	-0.17	-0.69	-0.17
+0.91	+1.13	+0.91	+1.12	-0.20	-0.49	-0.20	-0.49
+0.90	+0.90	+0.90	+0.90	-0.25	-0.25	-0.25	-0.25
+1.13	+1.11	+1.23	+1.12	-0.25	-0.29	-0.24	-0.24
+1.10	+1.10	+1.10	+1.10	-0.18	-0.18	-0.18	-0.18

Примечание. Строки 1-5 относятся к заряду кластера -2 , -1 , 0 , $+1$, $+2$ соответственно. Заряды фрагмента $\equiv Si-O-O-Si \equiv$ и двух фрагментов $\equiv Si-O$ составляют соответственно 0 , $-1.00 |e|$, $-1.00 |e|$ в зарядовом состоянии V_{Si}^2 и 0 , $-0.5 |e|$, $-0.5 |e|$ в зарядовом состоянии V_{Si}^- .

личественными изменениями структуры состояний, ответственных за это взаимодействие; в качественном же отношении эти состояния практически те же, что и в случае пероксидного мостика [6-8].

Образование V_{Si}^0 сопровождается разрывом четырех связей Si—O. Отсюда следует оценка энергии диссоциации связи Si—O в r-SiO_2 : $15.6/4 = 3.9$ эВ, что близко к ранее найденному в наших расчетах значению 3.5 эВ [13] и хорошо согласуется с экспериментальными данными [14, 15].

Дефект V_{Si}^0 образует шесть уровней в запрещенной зоне диоксида кремния (рис. 2, α): причем четыре нижних попарно вырождены (небольшое расщепление верхней пары этих уровней обусловлено, по-видимому, кластерными эффектами) и двукратно заполнены электронами. Два верхних уровня не заполнены и также вырождены. Волновые функции состояний дефекта приведены в табл. 2. В ней приведены следующие обозначения. В столбце Zs указана одна из четырех пар атомов внутренней части кластера: Si_a , O_a и т. п. В каждой клетке таблицы через запятую указано несколько целых чисел, определяющих десятые доли значения коэффициента

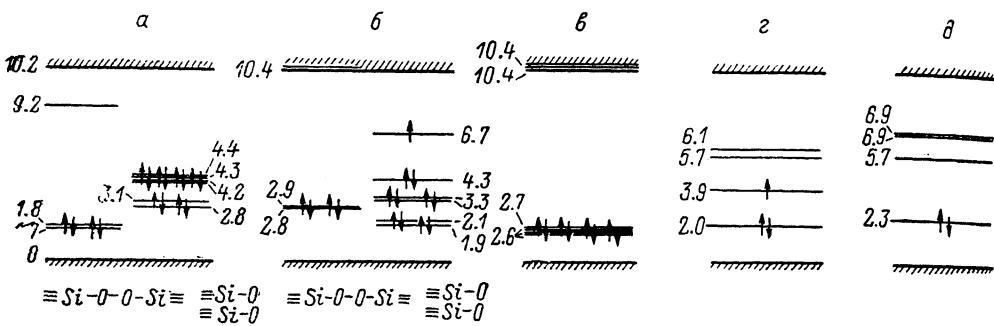


Рис. 2. Схемы уровней вакансии кремния в зарядовых состояниях V_{Si}^{0-} (α), V_{Si}^{-} (β), V_{Si}^0 (γ), V_{Si}^{\pm} (δ).

при соответствующей атомной орбитали. Знак указывает знак этого коэффициента. Порядковый номер целого числа в клетке, считая слева направо и сверху вниз, определяет номер соответствующей молекулярной орбитали, относящейся к уровню энергии в щели плотности состояний («запрещенной зоне» SiO_2). Уровни энергии пронумерованы в порядке возрастания их энергии, отсчитываемой от верхнего края валентной зоны SiO_2 (точнее, от самого верхнего заполненного уровня в бездефектном кластере). Пример: в клетке, находящейся на пересечении столбца $2s$ и строки 0, для атома кислорода O_a последней (шестой) стоит число —2. Это означает, что в волновой функции верхнего уровня нейтральной вакансии кремния присутствует член $-0.2 \varphi_s(\text{O}_a)$. Направления осей координат показаны на рис. 1. Видно, что волновые функции двукратно заполненных уровней дефекта представляют собой линейные комбинации волновых функций заполненных состояний двух пероксидных мостиков [8].

В дипольном приближении разрешен переход электрона с каждого из уровней 3 и 4 на оба незаполненных уровня 5 и 6 (рис. 2, δ). Как следует из табл. 2 при таких переходах происходит перенос электронной плотности на одну из цепочек $=\text{Si}-\text{O}-\text{O}-\text{Si}=$. Сила осциллятора переходов составляет $f \sim 10^{-1}$. Для оценки энергии переходов следует использовать разность энергий уровней с учетом поправки на взаимодействие электронов, равной разности кулоновского и обменного интегралов между начальным и конечным состояниями. В приближении МЧПД эта поправка выражается через внутриатомные кулоновские и обменные интегралы, являющиеся параметрами метода, и составляет в данном случае 2.5 эВ. Таким образом, энергия переходов равна приблизительно 5.2 эВ (240 нм).

В зарядовом состоянии V_{Si}^+ связи между атомами кислорода не образуются, так что дефект представляет собой четыре близко расположенные

Таблица 2

Коэффициенты разложения по атомным орбиталам молекулярных орбитальных состояний вакансии, уровни которых расположены в пределах плотности состояний

		Кремний				Кислород				Полный заряд классера Q	
		3s	3p _x	3p _y	3p _z	2s	2p _x	2p _y	2p _z		
<i>a</i>	0, 0, 0, 0	0, 0, 0, 0	2, 0, 0, 0	0, 0, 0, 0	0, 0, 0, 0	0, 0, 0, 1	-4, 4, 0, -6	0, 0, 0, 0	-2, -1, -1, -3	+2	+1
	0, 0, 0, 0	0, 0, 0, 0	0, 0, 0, 0	0, 0, 0, 0	0, 0, 0, 0	4, 2, 2, 5	-2, -1, -4, -3	0, 0, 0, 0	-2, -1, -1, -3	+2	+1
	0, 0, 1	0, 0, 2	0, 0, 0	0, 0, 0	0, 0, 0, 0	3, 2, 0,	2, 3, -3,	-3, -3, -3,	-3, 0, 2	0	0
	1	2, 3, 3	0, 1, 2	0, 0, 0	0, 0, -2	0, 0, 0	-3, 0, 3	-3, -4, 3	-5, -3, 2	0	-1
	0, 1, 3	0, 3, 3	0, 0, 0	0, -2, -2	4, -2, 0						
<i>b</i>	0, 0, 0, 0	-1, 0, 0, 0	0, 0, 0, 0	0, 0, 0, 0	-1, 0, 0, 0	0, 0, 0, 0	0, 2, 3, 0	0, 0, 0, 0	0, 0, 0, 0	3, 3, 5, 0	+2
	0, 0, 0, 0	0, 0, 0, 0	0, 0, 0, 0	0, 0, 0, 0	0, 0, 0, 0	-5, -2, -2,	6	0, 0, 0, 0	0, 0, 0, 0	0, 0, 0, 0	+1
	0, 0, -1,	0, 0, 2,	0, 0, 0	0, 0, 0	0, 0, 0,	3, -3, 3,	2, -1, -3,	3, -3, 3,	-4, 3, 0	0	0
	1	2	0, 0, 0	0, 0, 0	0, 0, 0	-3, 0, 0	3, -5, 0, 1	3, -5, 0, 1	0, 0, 0, -5,	0, 0, 0, -5,	-1
	0, 0, 0, 0	0, 0, 0, 0	3, 3, 0, 0	0, 0, 0, 0	0, 0, 0, 0	1, 1, 6	1, 1, 6	1, 1	5, 5	5, 5	
<i>c</i>	0, 0, 0, 0	1, 0, 0, 0	-1, 0, 0, 0	0, 0, 0, 0	0, 0, 0, 0	0, 0, 0, 0	-2, 2, 0, 3	-2, -3, 0, -4,	2, -2, 0, -3	+2	+1
	0, 0, 0, 0	0, 0, 0, 0	0, 0, 0, 0	0, 0, 0, 0	0, 0, 0, 0	0, 1, -4, 0	0, -5, 4, 0	0, -5, 4, 0	0, 3, -2, 0	0, 3, -2, 0	+1
	0, 0, 1	0, 0, 0,	0, 0, 0,	0, 0, 0,	0, 0, 0,	-2, -3, 0	-2, -2, 3	-2, -2, 3	3, 3, 3,	3, 3, 3,	0
	1	0, -1, -3	0, -1, 1	0, -3, 4	0, 0, 0	0, -2, 2	-4, 2, 0	-4, 2, 0	3, 3	3, 3	-1
	0, 1, -3	0, -1, 1	0, -3, 4	0, 0, 0	0, 0, 0				5, 4, 2	5, 4, 2	
<i>d</i>	0, 0, 0, 0	2, 0, 0, 0	0, 0, 0, 0	0, 0, 0, 0	0, 0, 0, 0	0, 0, 0, 0	-3, -4, 5, 0	-4, 0, 2, 0	-4, 0, -2, 0	+2	+1
	0, 0, 0, 0	0, 0, 0, 0	0, 0, 0, 0	0, 0, 0, 0	0, 0, 0, 0	2, -2, 3, 0	0, 0, 0, 0	0, 0, 0, 0	0, 3, -5, 0	0, 3, -5, 0	+1
	0, 0, -1,	0, 0, 0,	0, 0, 0,	0, 0, 0,	0, 0, 0,	-3, 3, -3,	-2, 1, 3,	-2, 1, 3,	+4, -3, 0	+4, -3, 0	0
	1	2	2, -2, 0, 0	2, -2, 0, 0	2, -2, 0, 0	3, -3, 3, 0	-4, 4, 5, -1	-4, 4, 5, -1	-2, 2, -6, 1	-2, 2, -6, 1	-3, 3
	0, 0, 0, 0	-2, 2, 0, 0	0, 0, 0, 0	0, 0, 0, 0	0, 0, 0, 0	-4, 5	-4, 5	-4, 5	-2, 2, -6, 1	-2, 2, -6, 1	-4

(и потому сильно взаимодействующие между собой) группы $\equiv\text{Si}-\text{O}$ (рис. 3). Соответственно электронная структура дефекта V_{Si}^+ существенно отличается от дефекта V_{Si}^0 . Прежде всего следует отметить усиление связей $\text{Si}-\text{O}$ за счет перемещения электронной плотности с атомов Si на эти связи и за счет изменения структуры состояний, ответственных за них: вместо трех- и четырехцентровых орбиталей, характерных для пероксидного мостика [6-8] и сохраняющихся в дефекте V_{Si}^0 , в дефекте V_{Si}^+ связи $\text{Si}-\text{O}$ обусловлены двухцентровыми орбиталями, образованными связывающими комбинациями sp -гибридных орбиталей атомов кремния и $2p$ -состояний атомов кислорода. В результате энергия взаимодействия $\text{Si}-\text{O}$ существенно (на 70 %) возрастает, приближаясь, как и длины связей $\text{Si}-\text{O}$, к значениям, характерным для регулярной сетки $\nu\text{-SiO}_2$. Усиление взаимодействия $\text{Si}-\text{O}$ с избытком в 3.5 эВ компенсирует исчезновение связей $\text{O}-\text{O}$. Тем не менее за счет уменьшения внутрицентрового (одноатомного) притяжения элек-

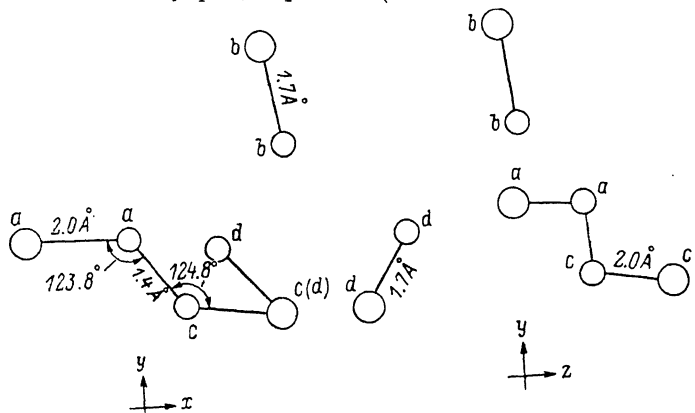


Рис. 3. Расположение атомов дефекта V_{Si}^+ (a, b, c, d — индексы атомов).

тронов на атомах кремния вследствие уменьшения электронной плотности на этих атомах энергия образования кластера для V_{Si}^+ оказывается на 12.8 эВ выше, чем для V_{Si}^0 .

Дефект V_{Si}^+ образует четыре уровня в средней части запрещенной зоны $\nu\text{-SiO}_2$ (рис. 2, 2), волновые функции которых приведены в табл. 2 (направление осей координат показано на рис. 3).

Неспаренный электрон, находящийся на втором уровне, характеризуется g -фактором ЭПР с $g_{\parallel} \approx 1.998$, $g_{\perp} \approx 2.002$ и испытывает сверхтонкое взаимодействие с ядрами трех атомов кислорода (приблизительно одинаковой интенсивности). В дипольном приближении разрешены переходы этого электрона на оба верхних (незаполненных) уровня. Энергии переходов составляют 1.8 эВ (700 нм) и 2.2 эВ (530 нм), силы осцилляторов $\sim 10^{-1}$. Как видно из табл. 2, волновые функции первого и второго уровней имеют сходное строение. Поэтому разрешены также переходы электрона с нижнего (двукратного заполненного) уровня на оба верхних. С учетом поправки на взаимодействие электронов, составляющей приблизительно 1.9 эВ, энергии этих переходов совпадают с приведенными выше; совпадают и силы осцилляторов. Таким образом, дефект V_{Si}^+ характеризуется поглощением в области 500—700 нм и сигналом ЭПР с аксиальным g -фактором.

Удаление второго электрона с дефекта V_{Si} сопровождается его дальнейшей перестройкой: в зарядовом состоянии V_{Si}^{2+} снова возникает притяжение O_a-O_a и O_b-O_d (однако очень слабое), обусловленное ковалентным взаимодействием, и образуются две цепочки $\equiv\text{Si}_a-\text{O}_a\ldots\text{O}_c-\text{Si}_c\equiv$ и $\equiv\text{Si}_b-\text{O}_b\ldots\text{O}_d-\text{Si}_d\equiv$, конфигурация и свойства которых уже не совпадают с пероксидным мостиком. В целом электронная структура V_{Si}^{2+} и свойства связей $\text{Si}-\text{O}$ в этом дефекте ближе к V_{Si}^0 , чем к V_{Si}^+ . Возникновение слабого притяжения между атомами кислорода при переходе к зарядовому состоянию V_{Si}^{2+} объясняется исчезновением отталкивания между

этими атомами, которое в зарядовом состоянии V_{Si}^+ обусловлено электроном, находящимся на втором уровне, волновая функция которого образована $2p$ -орбиталью атомов кислорода в несвязывающих и антисвязывающих комбинациях.

Дефект V_{Si}^{2+} образует в запрещенной зоне $\text{r}-\text{SiO}_2$ четыре уровня, причем верхние (незаполненные) уровни можно считать вырожденными (рис. 2, δ). Волновые функции приведены в табл. 2.

Расположение атомов кремния совпадает с показанным на рис. 1, а расположение атомов кислорода отличается от показанного на рис. 1 сокращением длин связей Si—O от 2.04 до 1.66 Å, вследствие чего расстояния O—O в цепочках увеличиваются от 1.44 до 2.35 Å; направления осей координат показаны на рис. 1.

Как видно, волновые функции в зарядовых состояниях V_{Si}^+ и V_{Si}^{2+} имеют разную структуру. Этим объясняется исчезновение разрешенных переходов между уровнями дефекта при удалении электрона с V_{Si}^+ и переходе к V_{Si}^{2+} . Очевидно, что этот дефект непарамагнетен.

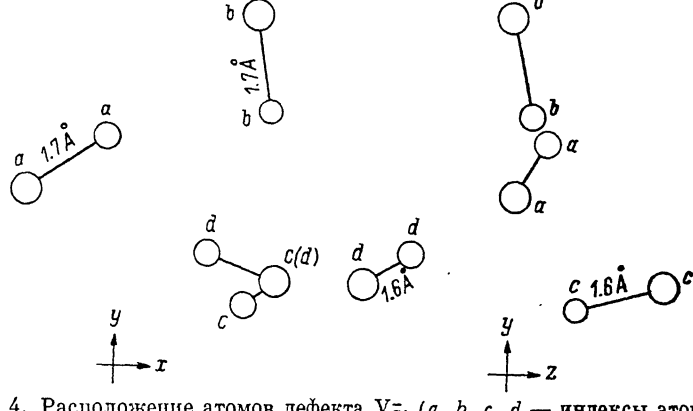


Рис. 4. Расположение атомов дефекта V_{Si}^- (a, b, c, d — индексы атомов).

Наличие двух незаполненных уровней вблизи края зоны проводимости в зарядовом состоянии V_{Si}^0 позволяет предположить, что возможен захват одного или двух электронов на этих уровнях с переходом дефекта в зарядовые состояния V_{Si}^- и V_{Si}^{2-} соответственно. Рассмотрим результаты расчетов этих зарядовых состояний. Расположение атомов в V_{Si}^- показано на рис. 4, а некоторые данные о V_{Si}^- и V_{Si}^{2-} приведены в табл. 1 (расположение атомов V_{Si}^{2-} лишь незначительно отличается от V_{Si}^-).

Общей существенной чертой дефектов V_{Si}^- и V_{Si}^{2-} , отличающей их от других зарядовых состояний вакансии, является наличие одной цепочки $\equiv\text{Si}-\text{O}-\text{O}-\text{Si}\equiv$ и двух групп $\equiv\text{Si}-\text{O}$ (рис. 4), взаимодействующих между собой. Как показали расчеты, в обоих зарядовых состояниях может образоваться как цепочка $\equiv\text{Si}_a-\text{O}_a-\text{O}_d-\text{Si}_c\equiv$ (этот случай приведен на рис. 4 и в табл. 1 для V_{Si}^-), так и цепочка $\equiv\text{Si}_b-\text{O}_b-\text{O}_d-\text{Si}_c\equiv$ (этот случай приведен в табл. 1 для V_{Si}^{2-}), что объясняется антисвязывающим характером волновых функций незаполненных вырожденных уровней зарядового состояния V_{Si}^0 по отношению к парам атомов O_b-O_d и O_a-O_c , соответственно: захват электрона на один из этих уровней приводит к разрыву либо связи O_b-O_d , либо связи O_a-O_c . Как видно из табл. 1, цепочки $\equiv\text{Si}-\text{O}-\text{O}-\text{Si}\equiv$ в зарядовых состояниях V_{Si}^- и V_{Si}^{2-} имеют практически одинаковые свойства, совпадающие со свойствами таких цепочек в V_{Si}^0 , и представляют собой «растянутые» пероксидные мостики [6-8]. В результате разрыва связи O—O в одной из цепочек $\equiv\text{Si}-\text{O}-\text{O}-\text{Si}\equiv$ в дефекте V_{Si}^0 и локализации дополнительного электрона (электронов) на фрагментах $\equiv\text{Si}-\text{O}$ в V_{Si}^- и V_{Si}^{2-} в этих фрагментах существенно сокращаются расстояния Si—O, а энергия взаимодействия Si—O возрастает почти вдвое по сравнению с V_{Si}^0 . Благодаря этому обстоятельству исчезновение одной из связей O—O с избыточ-

ком компенсируется и в зарядовом состоянии V_{Si}^{\pm} энергия образования кластера оказывается на 2.3 эВ ниже, чем в состоянии V_{Si}^0 . В зарядовом состоянии $V_{\text{Si}}^{2\pm}$ взаимное кулоновское (ионное) отталкивание атомов кислорода фрагментов $\equiv\text{Si}-\text{O}$ приводит к небольшому (6.8 эВ) повышению энергии образования кластера по сравнению с V_{Si}^{\pm} . Таким образом, из всех изученных зарядовых состояний наиболее выгодным в энергетическом отношении оказывается V_{Si}^0 . Поэтому дефект V_{Si}^0 действительно является электронной ловушкой.

Структура состояний, ответственных за связи атомов дефекта в цепочке $\equiv\text{Si}-\text{O}-\text{O}-\text{Si}\equiv$ и в группах $\equiv\text{Si}-\text{O}$, вполне аналогична структуре подобных состояний в пероксидном мостике [6-8] и в немостиковом атоме кислорода [13] соответственно. Взаимодействие фрагментов дефектов V_{Si}^{\pm} и $V_{\text{Si}}^{2\pm}$ между собой приводит к заметному смещению уровней, образуемых этими фрагментами в запрещенной зоне $v=\text{SiO}_2$ по сравнению с изолированными дефектами, и к перемешиванию состояний двух фрагментов $\equiv\text{Si}-\text{O}$ между собой (рис. 2, а, б). Волновые функции уровней дефекта для зарядовых состояний V_{Si}^{\pm} и $V_{\text{Si}}^{2\pm}$ отличаются лишь заменой $\text{O}_a \leftrightarrow \text{O}_b$ и $\text{O}_c \leftrightarrow \text{O}_d$ с соответствующим поворотом осей координат. Поэтому в табл. 2 приведены явные выражения лишь для волновых функций дефекта в зарядовом состоянии V_{Si}^0 .

Направление осей координат показано на рис. 4. Из табл. 2 видно, что состояния пероксидного мостика, лежащие в запрещенной зоне $v=\text{SiO}_2$, сохраняются и в зарядовых состояниях V_{Si}^{\pm} и $V_{\text{Si}}^{2\pm}$, а состояния, образуемые фрагментами $\equiv\text{Si}-\text{O}$, представляют собой симметричные и антисимметричные комбинации состояний этих фрагментов, т. е. состояний двух немостиковых атомов кислорода [13].

В зарядовом состоянии V_{Si}^0 неспаренный электрон находится на верхнем (шестом) уровне, относящемся к фрагментам $\equiv\text{Si}-\text{O}$, и испытывает сверхтонкое взаимодействие одинаковой интенсивности с ядрами двух атомов кислорода O_b и O_d . Это состояние характеризуется сигналом ЭПР с $g_{\perp} \approx 2.000$, $g_{\parallel} \approx 2.003$. Зарядовое состояние $V_{\text{Si}}^{2\pm}$, очевидно, испармагнитно.

Как известно [13, 14], для немостикового атома кислорода характерно оптическое поглощение при 2.0 и 4.75 эВ, обусловленное переходами между уровнями этого дефекта. В зарядовом состоянии V_{Si}^0 соответствующие переходы сильно ослаблены ($f \leq 10^{-3}$) вследствие взаимного влияния фрагментов $\equiv\text{Si}-\text{O}$, приводящего к смешиванию волновых функций, и в пределах точности расчета должны рассматриваться как запрещенные. В зарядовом состоянии $V_{\text{Si}}^{2\pm}$ все уровни, относящиеся к фрагментам $\equiv\text{Si}-\text{O}$, двукратно заполнены и переходы между ними невозможны (рис. 2, а). С другой стороны, переходы между состояниями пероксидного мостика также запрещены [6-8]. Таким образом, захват электрона на вакансию кремния V_{Si}^0 должен сопровождаться исчезновением оптического поглощения.

Во всех изученных зарядовых состояниях энергия образования дефекта (равная разности энергий образования кластеров для дефектов V_{Si} и идеального кластера, равной -10.2 эВ) оказывается значительно выше, чем для дефектов, образующихся вблизи кислородных узлов в $v=\text{SiO}_2$, и составляет +14.1, +13.3, +15.6, +28.4 и +40.8 эВ в зарядовых состояниях V_{Si}^{\pm} , V_{Si}^0 , $V_{\text{Si}}^{2\pm}$ и $V_{\text{Si}}^{2\pm}$ соответственно. Как видно, наиболее выгодны отрицательно заряженные и нейтральное состояния вакансии. Поэтому можно ожидать, что вакансия кремния образуется преимущественно в сильно неравновесных процессах, причем в ионизационных процессах (например, под действием жесткого γ -излучения, нейтронов или ионов) могут возникать дефекты $V_{\text{Si}}^{2\pm}$, V_{Si}^0 , V_{Si}^{\pm} (за счет захвата электрона или дырки возможен последующий переход в наиболее выгодное состояние V_{Si}^0), а в тепловых (например, при особо быстром охлаждении расплава) — дефект V_{Si}^0 . Таким образом, в зависимости от характера воздействия на кварцевое стекло наиболее вероятным и наблюдаемым эффектом, связанным с вакансиями кремния, будет возникновение либо поглощения в области 240 нм в отсутствие сигнала ЭПР, либо сигнала ЭПР с $g_{\perp} \approx 2.000$, $g_{\parallel} - g_{\perp} \approx 0.003$.

в отсутствие оптического поглощения. Заметим, что положение полосы поглощения непарамагнитного дефекта V_{Si}^3 (240 нм) такое же, как и у известных кислородно-дефицитных центров [16, 17], интерпретируемых в настоящее время либо как нейтральная вакансия кислорода, либо как двухкоординированный кремний, и это может влиять на интерпретацию экспериментов.

Список литературы

- [1] Sokolov V. O., Sulimov V. B. // Phys. St. Sol. (b). 1986. V. 135. N 1. P. 369—377.
- [2] Sokolov V. O., Sulimov V. B. // Phys. St. Sol. (b). 1986. V. 137. N 2. P. K167—K170.
- [3] Dianov E. M., Sokolov V. O., Sulimov V. B. // Phys. St. Sol. (b). 1988. V. 147. N 1. P. 261—266.
- [4] Дианов Е. М., Соколов В. О., Сулимов В. Б. // Физ. и хим. стекла. 1987. Т. 13. № 5. С. 774—776.
- [5] Edwards A. H., Fowler W. B. // J. Phys. Chem. Sol. 1985. V. 46. N 7. P. 841—857.
- [6] Соколов В. О., Сулимов В. Б. // Изв. вузов, физика. 1987. Т. 30. № 4. С. 34—38.
- [7] Sokolov V. O., Sulimov V. B. // Phys. St. Sol. (b). 1987. V. 142. N 1. P. K7—K12.
- [8] Дианов Е. М., Соколов В. О., Сулимов В. Б. // Высокочистые вещества. 1988. № 2. С. 197—203.
- [9] Ciraci S., Erkos S. // Sol. St. Comm. 1981. V. 40. N 8. P. 801—803.
- [10] Gupta R. R. // Phys. Rev. B. 1986. V. 33. N 10. P. 7274—7276.
- [11] Bingham R. C., Dewar M. J. S., Lo D. H. // J. Am. Chem. Soc. 1975. V. 97. N 6. P. 1285—1311.
- [12] Литинский А. О. // Журн. структ. хим. 1982. Т. 23. № 4. С. 40—55.
- [13] Дианов Е. М., Соколов В. О., Сулимов В. Б. // Тр. Ин-та общей физики АН СССР 1988. Т. 15. С. 127—139.
- [14] Силин А. Р., Трухин А. Н. Точечные дефекты и элементарные возбуждения в кристаллическом стеклообразном SiO_2 . Рига, 1985. 244 с.
- [15] Горшков В. С., Савельев В. Г., Федоров Н. Ф. Физическая химия силикатов. М., 1988. 400 с.
- [16] Амосов А. В. Стеклообразное состояние. Л., 1983. С. 155.
- [17] Skuia L. N., Streletska A. N., Pakovich A. B. // Sol. St. Comm. 1984. V. 50. N 12. P. 1069—1070.

Институт общей физики АН СССР
Москва

Поступило в Редакцию
3 февраля 1989 г.
В окончательной редакции
26 апреля 1990 г.